

ORIGINAL ARTICLE

Proteome analysis of soybean root facing pod distortion syndrome

Maryam Alyari¹, Mahmoud Toorchi² , Mahdiye Parsaeiyan¹, Naser Farokhi³, Setsuko Komatsu⁴

1. M. Sc. and Assistant Professor, Department of Agronomy and Plant Breeding, Shahrood University of Technology, Shahrood, Iran.
2. Professor, Department of Plant Breeding and Biotechnology, University of Tabriz, Tabriz, Iran
3. Associate Professor, Department of Plant Science and Biotechnology, Shahid Beheshti University, Tehran, Iran.
4. Professor, Institute of Crop Science, NARO (NICS), Tsukuba, Japan.

Correspondence:
Mahmoud Toorchi
Email: mtoorchi@tabrizu.ac.ir

Received: 20, Nov. 2024
Accepted: 28, Feb. 2025

How to cite:

Alyari, M., Toorchi, M., Parsaeiyan, M., Farokhi, N., & Komatsu, N. (2025). Proteome analysis of soybean root facing pod distortion syndrome. *Crop Biotechnology*, 14 (3), 1 -12. (DOI:[10.30473/cb.2025.72842.1990](https://doi.org/10.30473/cb.2025.72842.1990))

ABSTRACT

Pod distortion syndrome (PDS) is a particular type of growth in which soybean plants remain green long after pod maturation. Green stems even sometimes leaves and green petiole impose different problems at harvesting and lead to yield reduction. Protein expression profile of PDS soybean cultivar Katul compared with non-PDS soybean to investigate the molecular mechanisms of this syndrome. Therefore, soybean leaf samples were collected at R6 vegetative stage from the field through surway sampling and protein extracted by phosphate buffer method. A total of 124 reproducible protein spots were distinguished by 2-dimentional electrophoresis through isi-electric focusing in the first and sds-PAGE in the second dimentions. Thirty-four spots indicated by induction factor in which 11 protein spots indicated significant expression changes, statistically. Proteins interfering in PDS were classified into metabolism and energy production, protein destination and storage, signal transduction, ROS scavenging and detoxification categories. Glutamate dehydrogenase, malate dehydrogenase, methionine syntetase, stem 31 kDa glycoprotein, 14-3-3-like protein, germin like proteins, thiroredoxin and ond one protein with unknown function were identified through mass spectrometry in which all the proteins were shown decrease in expression change. The finding suggests that the key regulators of PDS in soybean plants are 14-3-3 and jermin like protein.

KEY WORDS

Proteomics, soybean pod distortion, two-dimentional electrophoresis.



© 2025, by the author(s). Published by Payame Noor University, Tehran, Iran.

This is an open access article under the CC BY 4.0 license (<http://creativecommons.org/licenses/by/4.0/>).
<https://cropbiotech.journals.pnu.ac.ir/>

زیست‌فناوری گیاهان زراعی

سال چهاردهم، شماره سوم، پیاپی ۴۹، بهار ۱۴۰۴ (۱-۱۲)

DOI: [10.30473/cb.2025.72842.1990](https://doi.org/10.30473/cb.2025.72842.1990)

«مقاله پژوهشی»

تجزیه پروتئوم بافت ریشه سویای مبتلا به سندروم غلاف‌بندی

مریم علیاری^۱، محمود تورچی^{۲*}، مهدیه پارسایان^۱، ناصر فرخی^۳، ستسوکو کوماتسو^۴

چکیده

عارضه ناهنجاری یا سندروم غلاف‌بندی سویا نوع ویژه‌ای از رشد است که گیاهان مدت‌ها پس از رسیدگی غلاف‌ها، همچنان سبز باقی می‌مانند. ساقه‌های سبز و حتی برخی اوقات برگ‌ها و دمبرگ‌های سبز می‌تواند مشکلات متعددی در زمان برداشت ایجاد کنند و منجر به کاهش عملکرد شوند. به منظور بررسی سازوکار مولکولی سندروم غلاف‌بندی سویا در رقم کتول، مقایسه پروفایل بیان پروتئین‌های گیاهان سالم و مبتلا انجام گرفت. برای این منظور نمونه‌های برگ سویا در مرحله رویشی R6 به روش پیمایشی از مزارع برداشت و پروتئین بافت ریشه آنها به روش بافر فسفات استخراج شدند. الکتروفورز دو بعدی در بعد اول به روش متمنکرسازی بر اساس نقطه ایزوالتريک و در بعد دوم به روش SDS-PAGE منجر به مشاهده ۱۲۴ لکه پروتئینی تکرار پذیر شد. فاکتور القا منجر به تشخیص تعداد ۳۶ لکه پروتئینی با تغییرات بیان قابل ملاحظه گردید و با انجام آزمون *A*، تعداد ۱۱ لکه پروتئینی از نظر آماری تغییر بیان معنی دار داشتند. پروتئین‌های دخیل در ناهنجاری غلاف‌بندی از نظر کارکرد بیولوژیکی متعلق به گروه پروتئین‌های دخیل در متابولیسم و تولید انرژی، تقسیط و ذخیره‌سازی پروتئین، انتقال سیگنال، مهار گونه‌های فعال اکسیژن و سم زدایی بودند. در پاسخ به سندروم غلاف‌بندی، پروتئین‌های گلوتامات دهیدروژناز، مالات دهیدروژناز، متیونین سنتاز، گلیکوبروتئین ۳۱ کیلو دالتونی ساقه‌ای، 14-3-3-like protein، پروتئین شبه جرمین، تیوردوکسین و یک پروتئین ناشناخته به روش طیف سنجی جرمی شناسایی و همه آنها کاهش تغییرات بیان نشان دادند. نتایج نشان می‌دهد که کاهش بیان پروتئین‌های 14-3-3-like protein و پروتئین شبه جرمین که از تنظیم کننده‌های کلیدی به شمار می‌روند در ریشه گیاهان مبتلا نقش اساسی را در تظاهر سندروم غلاف‌بندی سویا دارند.

واژه‌های کلیدی

الکتروفورز دو بعدی، پروتئومیکس، سندروم غلاف‌بندی.

- دانشآموخته کارشناسی ارشد و استادیار، گروه زراعت و اصلاح نباتات، دانشکده کشاورزی، دانشگاه صنعتی شاهروod، شاهروod، ایران.
- استاد، گروه بهنژادی و بیوتکنولوژی گیاهی، دانشکده کشاورزی، دانشگاه تبریز، تبریز، ایران.
- دانشیار، گروه علوم و بیوتکنولوژی گیاهی، دانشگاه شهید بهشتی، تهران، ایران.
- استاد، انسیتو تحقیقات علوم گیاهان زراعی، سوکوبان، اذاین.

نویسنده مسئول:

محمود تورچی

ایمیل: mtoorchi@tabrizu.ac.ir

تاریخ دریافت: ۱۴۰۳/۰۸/۳۰

تاریخ پذیرش: ۱۴۰۳/۱۲/۱۰

استناد به این مقاله:

علیاری، مریم؛ تورچی، محمود؛ پارسایان، مهدیه؛ فرخی، ناصر و کوماتسو، ستسوکو (۱۴۰۴). تجزیه پروتئوم بافت ریشه سویای مبتلا به سندروم غلاف‌بندی، *فصلنامه علمی زیست‌فناوری گیاهان زراعی*، ۱۴ (۱)، ۱۲-۱. (DOI: [10.30473/cb.2025.72842.1990](https://doi.org/10.30473/cb.2025.72842.1990))



حق انتشار این مستند، متعلق به نویسنده‌ان است.

این مقاله تحت مجوز Creative Commons Attribution (CC BY 4.0) منتشر شده و استفاده از آن با ارجاع صحیح مجاز است.

تغییرات بیان پروتئین‌های متفاوت در گیاه تظاهر می‌یابد. بنابراین، تحلیل پروتئومیکس از راهکارهای تعیین علل موثر در پیدایش این سندروم می‌تواند باشد. پروتئومیکس ابزار قدرتمندی برای مطالعه تغییرات بیان پروتئین‌های مختلف در پاسخ به تنش‌های زیستی و غیر زیستی و تعریف فرایندهای فیزیولوژیکی و متابولیکی است (Xing et al., 2002). در این راستا، هدف از انجام این پژوهش تحلیل تغییرات مولکولی در سطح بیان پروتئین‌ها در بافت ریشه‌ی سویا دارای ناهنجاری غلاف بندی می‌باشد تا به امکان سنجی تعیین پروتئین‌های کاندیدای دخیل در شکل‌گیری این عارضه پرداخته شود. با شناسایی پروتئین‌های پاسخ دهنده و دارای تغییرات بیان در نتیجه این عارضه، نقش مولکولی این پروتئین‌ها در پاسخ با این عارضه ژنتیکی مورد بحث قرار می‌گیرد.

مرواری بر پژوهش‌ها

در ایران در سال ۱۳۶۶ پژوهه‌های جامعی به مدت سه سال زراعی (۱۳۶۸ تا ۱۳۶۸) به منظور بررسی علل ایجاد این سندروم اجرا شد. بر اساس نتایج، تیمارهای به کار رفته در پژوهه‌نوانست شرایط مشابه سندروم را در بوته‌های سویا به وجود آورد و فقط در نتایج مربوط به بخش بیماری‌ها، از بوته‌های آلدوده سه ویروس استخراج گردید که احتمال می‌رفت عامل آلدودگی بوته‌های سویا به این سندروم باشد (چراغعلی، ۱۳۶۷). تحقیقات در سایر کشورها نشان داده است که گیاهان مبتلا به این عارضه به بیماری مرموزی Morrison and Bartlet (Morrison and Bartlet, 2009).

مطالعات نشان داده است که واریته‌های مختلف سویا در تظاهر سندروم سویای سبز از همدیگر متفاوت هستند و از دلایل تظاهر این عارضه منشاء ژنتیکی است (Jadhav et al., 2013; Leonard et al., 2011; 2013). اصلاح ژنتیکی سویا و تولید سویای مقاوم به این عارضه یکی از محورهای اصلی تحقیقات بهترادی و مهندسی ژنتیک این گیاه می‌باشد. دلایل ایجاد این سندروم به طور دقیق مشخص نشده است و محققان می‌بایستی دلایل این ناهنجاری را مورد توجه و بررسی قرار دهند (Jadhav et al., 2013).

مقدمه

جمعیت جهان تا سال ۲۰۲۵ میلادی به حدود هشت میلیارد نفر و در سال ۲۰۵۰ از مرز نه میلیارد نفر خواهد گذشت که بخش عمده‌ای از این افزایش جمعیت در کشورهای فقیر و در حال توسعه اتفاق می‌افتد. پیش‌بینی می‌شود سطوح قابل کشت برای محصولات کشاورزی دنیا از متوسط ۱۹۶۰ هکتار در سال ۱۴۵۰ به مساحت ۲۰۵۰ هکتار برای هر نفر در سال ۲۰۵۰ کاهش پیدا کند (Alexandratos and Bransma, 2012). مصرف روغن‌های گیاهی با توجه به افزایش جمعیت و نیز تغییر الگوی غذایی مردم در حال افزایش است. همچنین، بهدلیل پرهزینه بودن تولید پروتئین‌های حیوانی انتظار می‌رود کمبودها از طریق استفاده از پروتئین‌های گیاهی تامین شود و با توجه به جایگاه ارزشمند سویا، اهمیت تحقیقات روی عوامل موثر بر افزایش تولید سویا در سطح کشور را نشان می‌دهد (Ahmedی، ۱۳۷۸).

سویا (*Glycine max* L.) گیاهی دولپه، یک ساله از خانواده پروانه‌آسانان جزو دانه‌های روغنی می‌باشد. جایگاه ارزشمند این محصول به دلیل روغن زیاد و پروتئین فراوان دانه آن است که به ترتیب ۴۰ و ۲۰ درصد از وزن دانه را شامل می‌گردد. عوامل متعدد از جمله سندروم غلاف بندی¹ منجر به کاهش عملکرد سویا می‌گردد. این سندروم با ظهور حالات مختلفی از جمله رشد علفی، گل‌ها و غلاف‌های غیر طبیعی، کوتاه شدن فاصله میانگره‌ها، عدم تشکیل دانه در غلاف و نظایر آن همراه است (Messina, 2010). فرضیه‌های متفاوتی از جمله فرضیه‌های آگرونومیکی (Leonard et al., 2011); زیستی مانند آفات و اقلیمی (Richard et al., 2004); بیماری‌ها (Giesler et al., 2002); فیزیولوژیکی Morrison and Bartlet, 2009; Holshouser,) و ژنتیکی (Leonard et al., 2011) در رابطه با تظاهر این سندروم پیشنهاد شده است. به هر حال، سندروم سویای سبز در واکنش گیاه نسبت به عوامل مختلف و

1. Green Soybean Syndrome

بعدی، الکتروفورز شدند. آنها گزارش کردند که ریشه حساس‌ترین اندام در پاسخ به تنفس خشکی است به طوری که در تیمار تنفس خشکی، پلی اتیلن گلیکول ۱۰ درصد و ترکیبی از آن دو به ترتیب ۳۲، ۱۳ و ۱۲ نوع پروتئین به طور متمایزی بیان شدند. در این آزمایش سنتز پروتئین‌های مرتبط با متابولیسم گیاه افزایش یافت و پروتئین‌های مرتبط با تولید انرژی و نیز پروتئین‌های سنتزی کاهش یافت. آلم و همکاران (Alam *et al.*, 2010) تغییرات پروتئوم ریشه سویا که تحت تنفس خشکی کوتاه مدت قرار داشت را با استفاده از رهیافت پروتومیک مورد بررسی قرار دادند و گزارش کردند که تعداد ۴۵ پروتئین به طور معنی‌داری تغییر بیان داشتند. از بین این پروتئین‌ها مشخصات ۲۸ پروتئین با استفاده از طیف سنجی جرمی تعیین گردید به طوری که از بین این ۲۸ پروتئین، بیان ۵ لکه پروتئینی افزایش و بیان ۲۱ لکه پروتئینی کاهش و ۲ لکه پروتئینی نیز به عنوان لکه پروتئینی جدید شناخته شدند. کوماتسو و همکاران (Komatsu *et al.*, 2013) اثر آبسیزیک اسید در سویای تنش غرقابی را با رهیافت پروتومیک مورد تجزیه و تحلیل قرار دادند. هنگامی که گیاهان سویای دو روزه غرقاب شدند، محتوى آبسیزیک اسید در ریشه گیاهان شاهد کاهش یافت. هنگامی که آبسیزیک اسید در مدت تیمار غرقاب به گیاه اضافه شد نسبت بقاء در مقایسه با سویاهای غرقاب شده بدون تیمار آبسیزیک اسید بهبود یافت. نتایج نشان داد که فراوانی ^{34}Cl پروتئین هسته‌ای از قبیل هیستون داستیلاز و ریبونوکلئوپروتئین هسته‌ای کوچک U2 در تیمار غرقابی همراه با کاربرد آبسیزیک اسید افزایش یافت. همچنین فراوانی ^{35}Cl پروتئین هسته‌ای از جمله ایمپورتین آلفا، فاکتور تغییر حالت کروماتین، پروتئین‌های انگشت روی، ترانسدیکتین و ۵ پروتئین تقسیم سلولی کاهش یافت.

صلواتی و همکاران (Salavati *et al.*, 2012) تغییرات پروتومیک در ریشه گیاهچه‌های سویای بازیابی شده پس از تنفس غرقابی را مورد تجزیه و تحلیل قرار دادند. تجزیه مقایسه‌ای ژلهای الکتروفورز دو بعدی تیمار شاهد و ریشه گیاهچه‌های سویای بازیابی شده پس از سه روز غرقابی،

Maurício *et al.*, 2017; Ghayeb Zamharir *et al.*, 2022). آنچه که مسلم است سندروم سویای سبز، از واکنش گیاه نسبت به عوامل زنگنه‌ی و محیطی ناشی می‌گردد و به نظر می‌رسد که صرفنظر از دلایل مختلف، پروتئین‌های مختلف در گیاه تغییر می‌باشد. بنابراین، بررسی تجزیه و تحلیل پروتئوم گیاه با ابزارهای پروتومیک یکی از راهکارهای تشخیص پروتئین‌های درگیر در این سندروم در سطح مولکولی می‌باشد. بررسی‌ها نشان می‌دهد که تا کنون در زمینه سندروم سویای سبز مطالعات مقدماتی از طریق تکنولوژی پروتومیک صورت نگرفته است. این رهیافت با شناسایی پروتئین‌های درگیر در ظاهر سندروم سویای سبز کمک می‌کند تا ساز و کار تحمل به سندروم سویای سبز در سطح مولکولی مورد بررسی قرار گیرد و درک بهتری از پاسخ گیاه به این سندروم حاصل شود. در پاسخ به تنفس‌های مختلف، بیان برخی ژن‌ها افزایش یا کاهش می‌باشد. تغییر بیان ژن‌ها در گیاهان به وسیله تنفس‌های مختلف، باعث تغییر پروتئین‌های خاص ساختاری، آنزیمی و یا میزان فعالیت آنها در مسیرهای متابولیکی خاص می‌گردد (Seki *et al.*, 2003).

توروچی و همکاران (Toorchi *et al.*, 2009) مکانیسم پاسخ سویا به تنفس اسمزی در تیمار با پلی اتیلن گلیکول را مورد بررسی قرار دادند. تجزیه لکه‌های پروتئینی ریشه با الکتروفورز دو بعدی نشان داد، ۳۷ پروتئین از ۴۱۵ پروتئین شناسایی شده که با روش توالی یابی ادمن و انگشت نگاری توده‌ای پیتیدی تغییر می‌باشد، متعلق به گروه پروتئین‌های مرتبط با بیماری/دفاع بودند. بر اساس نتایج آنها در شرایط تنفس اسمزی در مراحل اولیه رشد میزان کافنوئیل-کوا-او-متیل ترانسفراز که در چوبی شدن نقش دارد به عنوان یک پاسخ سازگاری کاهش ولی میزان زیر واحد A از آلفا پروتازوم ۲۰ اس که در کاهش آسیب‌های ناشی از تنفس اکسایشی نقش دارد، افزایش می‌باشد. محمدی و همکاران (Mohammadi *et al.*, 2012) گیاهچه‌های سه روزه سویا را تحت تیمار تنفس خشکی، پلی اتیلن گلیکول ۱۰ درصد و ترکیبی از آن دو قرار دادند. پس از اعمال تیمار، پروتئین‌های بافت برگی، هیپوکوتیل و ریشه استخراج شد و سپس در ژلهای دو

بصورت تصادفی نمونه گیری گردید. در انتخاب نمونه‌ها سعی شد که نمونه‌های موردنظر تا حد امکان از فاصله دور از یکدیگر قرار نگرفته باشد. همچنین نمونه‌های متعددی از مزارع انتخاب شدند که برای انجام الکتروفورز دو بعدی نمونه تصادفی کافی جهت تکرار دار بودن آزمایش وجود داشته باشد. نمونه‌های ریشه در فلاسک حاوی ازت مایع به آزمایشگاه منتقل و در فریزر -۸۰- درجه سانتیگراد تا زمان استخراج پروتئین نگهداری شدند.

استخراج و تعیین غلظت پروتئین

برای استخراج پروتئین از بافت ریشه از روش بافر فسفات استفاده شد (Komatsu *et al.*, 2007). به این ترتیب که یک گرم از بافت ریشه همراه با دو میلی لیتر بافر فسفات خنک ۲ در هاون خرد گردید و پس از انتقال نمونه به تیوب‌های ۲ میلی لیتری به مدت ۱۰ دقیقه با ۱۵۰۰ دور در دقیقه در ۴ درجه سانتی گراد سانتریفیوژ شد. روشنایور به تیوب جدید منتقل و دوباره عمل سانتریفیوژ با همان تنظیمات قبلی تکرار و روشنایور به تیوب جدید انتقال یافت. در این مرحله ۱۰ درصد تری کلرواستیک اسید خالص اضافه گردید و ۳۰ دقیقه در یخچال قرار داده شد. پس از آن ورتكس انجام و با تنظیمات قبلی سانتریفیوژ انجام شد. این بار روشنایور دور ریخته شده و رسوب حاصله با ۲۰۰ میکرولیتر الكل اثانول خنک شستشو داده و سپس به مدت ۲ دقیقه با ۱۵۰۰ دور در دقیقه در ۴ درجه سانتی گراد سانتریفیوژ شد. رسوب پروتئینی در هاون چینی خشک و ۰/۱۲ گرم از نمونه با ۲۳۰ میکرولیتر بافر لیز محلول گردید. بافر لیز شامل ۷ مولار اوره، ۳-۱۰ pH: CHAPS و ۶۰ میلی مولار DDT و ۱٪ آمفولیت با (Bradford, 1976) استفاده شد.

الکتروفورز دو بعدی

برای تهییه ژل بعد اول از اوره، پلی آکریلامید ۳۰ درصد، NP-40، آمفولین‌های با pH ۱۰-۳ و ۸-۵ APS با مقادیر مشخص استفاده شد. الکتروفورز بعد اول طی سه مرحله با ولتاژهای ۲۰۰ ولت به مدت نیم ساعت، ۴۰۰ ولت به مدت ۱۶ ساعت و ۶۰۰ ولت به مدت یک ساعت

تعداد ۷۰ لکه پروتئینی با بیان متفاوت را از کل ۸۰ پروتئین شناسایی شده نشان داد. تعدادی از این پروتئین‌های بازیابی شده در فرآیندهای متابولیکی و ذخیره/ تقسیط پروتئین‌ها درگیر هستند. تجزیه کلاستر مبتنی بر پروفایل ۷۰ پروتئین با بیان تمایز نشان داد که سه روز غرقاب و حتی در مدت سه روز پس از غرقابی تعییرات معنی داری در بیان پروتئین‌ها دارد. از طرفی، سه روز غرقاب گیاهچه‌های دو روزه سویا منجر به تنظیم پایین دست پروتئین‌های مرتبط با انتقال یون و تنظیم بالادست پروتئین‌های درگیر در سازماندهی مجدد اسکلت سلولی، توسعه سلولی و مرگ برنامه‌بریزی شده سلولی می‌گردد. علاوه بر این، تعداد ۷ لکه پروتئینی درگیر در تعییر دیواره سلولی و سنتز S-آدنوزین متیونین در ریشه گیاهچه‌های سویا بازیابی شده پس از مدت یک روز غرقاب ردیابی شد.

نانجو و همکاران (Nanjo *et al.*, 2013) با استفاده از روش پروتومیک، پروتئین‌های مرتبط با تحمل به تنش غرقابی در گیاهچه‌های سویا را مطالعه کردند. برای این منظور، گیاهچه‌های سویا طی سه روز تحت تیمار غرقابی قرار گرفتند و سپس از گیاهان نمونه برداری و استخراج پروتئین انجام شد. در این مطالعه پروتئین‌ها به گروه‌های درگیر در تعییر دیواره سلولی مانند پروتئین‌های شبه بازدارنده پلی گالاکتوروناز و پروتئین شبه B1 بسط دیواره سلولی طبقه بندی شدند که احتمالاً در سیستم دفاعی گیاه درگیر باشند. همچنین تعییرات پروتئینی در ریشه‌ها نیز مشاهده شد که از جمله آن پروتئین‌های شبه زیر واحد ۲A پروتئین فسفاتاز بودند که احتمالاً در مرگ سلول‌های نوک ریشه درگیر هستند. از طرفی تجزیه و تحلیل پروتئین‌ها نشان داد که فراوانی پروتئین‌های درگیر در سنتز دیواره سلولی از جمله سینامیل الكل دهیدروؤناز در طی سه روز بعد از غرقاب کاهش یافته است.

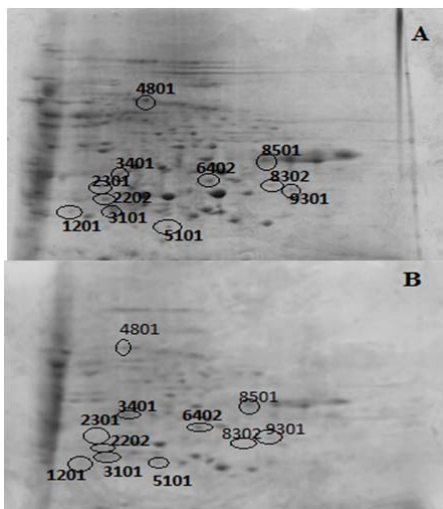
مواد و روش‌ها

نمونه برداری

برای نمونه‌گیری مزارع تحت کشت سویا در استان گلستان مورد بازدید قرار گرفت و از ریشه گیاهان سالم و بوته‌های مبتلا به ناهنجاری غلاف‌بندی سویا سبز رقم کتوول

نتایج و بحث

الکتروفورز دوبعدی با ژل‌های لوله‌ای در بعد اول و رنگ آمیزی به روش آبی کوماسی منجر به ظهرور ۱۲۴ لکه پروتئینی تکرارپذیر شد. تجزیه و تحلیل نتایج نشان داد که از ۱۲۴ این لکه تکرارپذیر، ۳۴ لکه بر اساس شاخص IF دارای تعییرات بیان قابل ملاحظه‌ای می‌باشد که با انجام آزمون ^t ۱۱ لکه پروتئینی معنی دار، کاهش بیان نشان دادند که این کاهش تعییرات بیان در شکل ۱ و اطلاعات لکه‌های پروتئینی مورد شناسایی در جدول ۱ ارائه شده است.



شکل ۱. موقعیت نسبی و برچسب لکه‌های پروتئینی داری تعییرات بیان معنی دار شناسایی شده با استفاده از 2-DE از ریشه سویا در شرایط A: بیمار و B: شاهد

Figure 1. The relative positions and tags of proteins spots with significant expression changes identified using two-dimensional electrophoresis from soybean root under A: infected and B: control

از بین ۱۱ لکه پروتئینی داری تعییرات بیان معنی دار، لکه‌های شماره ۴۸۰۱، ۳۴۰۱ و ۲۳۰۱ در متاپولیسم و تولید انرژی، لکه‌های شماره ۹۳۰۱ و ۶۴۰۲ در تقسیط و ذخیره، سازی پروتئینی، لکه شماره ۲۳۰۱ در انتقال سیگنال، لکه‌ای شماره ۵۱۰۱ در انتقال سیگنال، لکه‌های پروتئینی مهارکننده ROS و سم زدایی طبقه بندی شده و بالاخره لکه شماره ۸۳۰۲ جزء پروتئین‌های ناشناخته محسوب می‌شود.

اجرا گردید. الکتروفورز بعد دوم به روش SDS-PAGE با استفاده از یک ژل دوقسمتی شامل ژل جداکننده (۱۵%) و ژل تعیین مسیر (۵%) انجام شد. قبل از اجرای بعد دوم الکتروفورز، ژل‌های بعد اول طی دو مرحله و هر بار به مدت ۱۵ دقیقه در بافر SDS متعادل ساری شدند و سپس روی ژل آکریل‌آمید بعد دوم قرار گرفتند. به ازای هر ژل، ۲۰۰ میکرولیتر نشانگر آبی بروموفنول به بافر رانش افزوده شد. سپس عملیات رانش با جریان ثابت ۳۵ میلی‌آمپر برای هر ژل و مدت زمان حدود ۳ ساعت تا رسیدن نشانگر آبی به انتهای ژل جداکننده برقرار گردید. پس از اتمام الکتروفورز رنگ آمیزی ژل‌ها توسط محلول رنگ آمیزی آبی کوماسی انجام شد. رنگ بری طی دو مرحله در مرحله اول در طول شب و در مرحله دوم به مدت حداقل نیم ساعت انجام گردید تا لکه‌های پروتئینی آشکار شده و برای تصویربرداری آماده شوند.

شناسایی پروتئین‌ها

تصویربرداری از ژل‌ها توسط دانسیومتر GS800 ساخت شرکت بیوراد و با انتخاب نوع ژل و روش رنگ آمیزی آبی کوماسی و نرم‌افزار Quantity one انجام شد. توسط نرم‌افزار PDQuest کلیه تصاویر ژل‌ها به همراه تکرارهای آنها فراخوانده شدند و لکه‌های مشترک بین تکرارها برچسب زده شد. پس از پایان لکه‌یابی درصد حجمی نقاط برای تکرارهای مختلف به دست آمد و آزمون ^t برای درصد حجمی هر لکه پروتئینی بین تیمارها انجام شد. بدین ترتیب که لکه‌های پروتئینی دارای تعییرات بیان معنی دار مشخص شدند و روند افزایشی و کاهشی بیان آنها در اثر سندروم غلاف‌بندی بر اساس فاکتور القاء (IF¹) مشخص شدند. نقاطی که دارای IF بالاتر از ۲ بودند لکه‌های پروتئینی با افزایش بیان و نقاطی که IF کمتر از ۰/۵ داشتند به عنوان لکه‌های پروتئینی با کاهش بیان معرفی شدند (Hajheidari et al., 2005). شناسایی پروتئین‌های دارای تعییرات بیان به روش انگشتنگاری گرم پیتیدی MALDI-TOF در انستیتو تحقیقات علوم گیاهان زراعی ژاپن صورت گرفت.

1. Induction Factor

جدول ۱. مشخصات لکه‌های پروتئینی دارای تغییرات بیان معنی دار در پاسخ به سندروم غلافبندی سویا در تطبیق با پروتئین‌های NCBI پایگاه داده‌ای

Table 1. The characteristics of proteins spots with significant expression changes in response to pod distortion syndrome matching with NCBI protein databank

| شماره لکه | -pI- جرم مولکولی (آزمایشی) | pI- جرم مولکولی (تئوری) | شماره دسترسی | پروتئین همولوگ |
|-----------|----------------------------|-------------------------|--------------|---------------------------|
| ۸۵۰۱ | 43.93–6.91 | 44.5–6.47 | QSF2M9 | glutamate dehydrogenase |
| ۸۳۰۲ | 30.74–6.96 | 36.1–6.8 | IIMQN7 | uncharacterized protein |
| ۶۴۰۲ | 32.53–6.48 | 29.3–6.7 | p10743 | steam 31 KDa glycoprotein |
| ۹۳۰۱ | 29.35–7.11 | 29.3–6.7 | p10743 | steam 31 KDa glycoprotein |
| ۳۱۰۱ | 21.01–5.75 | 22–6.01 | BAA74702 | germing- Like protein |
| ۱۲۰۱ | 22.69–5.42 | 22–6.01 | BAA74702 | germing- Like protein |
| ۳۴۰۱ | 35.28–5.79 | 35.5–6.4 | O48905 | malate dehydrogenase |
| ۲۳۰۱ | 30.21–5.65 | 29.1–4.75 | A0A0B2QJ68 | 14- 3- 3- Like protein |
| ۴۸۰۱ | 84.92–6 | 84.4–5.9 | AAQ08403 | methionine synthase |
| ۵۱۰۱ | 18.72–6.17 | 17.4–6.1 | AF442385 | thioredoxin |
| ۲۲۰۱ | 26.27–5.68 | 22–6.01 | BAA74702 | germing- Like protein |

اسیدهای آمینه نقش دارد و برای رشد و سلامتی گیاه ضروری است (Zhang *et al.* 2011). پاتوژن‌ها معمولاً فرآیندهای فیزیولوژیکی مختلف را تحت تاثیر قرار می‌دهند که مهمترین آنها فرآیند متابولیسم می‌باشد (Zhang *et al.*, 2011). بنابراین کاهش پروتئین متیونین سنتاز در گیاهان مبتلا به ناهنجاری غلاف بندی نشان‌دهنده ایجاد اختلال در متابولیسم این گیاهان می‌باشد. در گیاه گندم کاهش این پروتئین در پاسخ به تنفس غرفابی گزارش شده است (Huang *et al.*, 2006) میزان بیان لکه شماره ۳۴۰۱ که به عنوان آنزیم ملات دهیدروژناز شناسایی شد در گیاهان دارای سندروم غلاف بندی سویا کاهش یافت. این آنزیم یکی از آنزیم‌های چرخه کربس می‌باشد و ملاتات یکی از فراورده‌های گلیکولیز است. در گلیکولیز، آگزوالوستات توسعه ملاتات دهیدروژناز به ملاتات احیا می‌شود که در این فرآیند از NADH به عنوان منبع الکترون استفاده می‌شود و به NAD⁺ تبدیل می‌گردد. ملاتات حاصل می‌تواند در واکوئل ذخیره شود و یا وارد چرخه کربس در میتوکندری شود و به وسیله ملاتات دهیدروژناز به آگزوالوستات شود (Wang *et al.*, 2012) که در این واکنش NADH تولید می‌گردد که برای احیای نیترات مورد استفاده قرار می‌گیرد کاهش بیان ملاتات دهیدروژناز حاکی (Scheibe, 2004)

از پروتئین‌های دخیل در متابولیسم و تولید انرژی، لکه شماره ۸۵۰۱ مربوط به آنزیم گلوتامات دهیدروژناز می‌باشد. این آنزیم واکنش تبدیل ۲ اکسوگلوتارات و ال- گلوتامات را کاتالیز می‌کند و به عنوان گیرنده و دهنده نیتروژن ایفا نمی‌کند. این آنزیم نقش مهمی در فرآیندهای سیگنال دهی داشته و عملکردهای فیزیولوژیکی Fontaine *et al.*, 2012 مهمن در متابولیسم کربن و نیتروژن دارد (Dubois *et al.*, 2003). این آنزیم تقریباً در تمام موجودات زنده وجود دارد (Liu *et al.*, 2008; Forde and Lea, 2007). کاهش بیان این آنزیم منجر به کاهش ترکیبات اسمزی در گیاه می‌گردد و از این طریق منجر به حس تنفس می‌گردد (Xu and Zhou, 2006). نقش فیزیولوژیکی اصلی این آنزیم در تامین ۲- اکسوگلوتارات برای چرخه کربس است. بنابراین، کاهش بیان این آنزیم در گیاهان مبتلا به سندروم غلافبندی سویا منجر به کاهش محصول ۲- اکسوگلوتارات برای چرخه کربس و کاهش انرژی خواهد شد (Robinson *et al.* 1992). لکه پروتئینی شماره ۴۸۰۱ که بیان آن در گیاهان مبتلا به سندروم غلاف بندی سویا به طور معنی دار کاهش یافت مربوط به متیونین سنتاز است که در سوخت و ساز

برگ می‌باشد. یافته‌ها نشان می‌دهد (Sözen, 2004) که این پروتئین‌ها نه تنها به عنوان مخزن ذخیره‌سازی وقت کربن و نیتروژن ایفای نقش می‌کنند بلکه نقش مهمی در تغذیه و سازگاری به تنش‌ها در مدت رشد و توسعه گیاه دارند. این پروتئین‌می‌تواند در ترمیم غشاء آسیب‌دیده در اثر تنش‌های مختلف نقش داشته باشد و در نتیجه این گونه از ارقام سویا نمی‌تواند به طور مناسب پاسخ مناسبی در برابر تنش‌های مختلف نشان دهند Afroz *et al.*, 2009). افزوز و همکاران (Aghaei *et al.*, 2010), وجود این نوع گلیکوپروتئین در اندام‌های ریشه، هیپوکوتیل و برگ گیاه‌چمه‌های ۷ روزه سویا را گزارش کردند و بیان کردند که وجود و تجمع این پروتئین‌های ذخیره‌ای، نشان دهنده مصرف این پروتئین‌ها به عنوان منبع غذایی و تولید انرژی برای رشد و نمو است. کاهش بیان گلیکوپروتئین ۳۱ کیلو دالتونی ساقه‌ای در بافت‌های مختلف در اثر تنش سوری (Yin *et al.*, 2014) و تنش غرقاب (Komatsu *et al.*, 2010) توسط (Komatsu *et al.*, 2010) توسط محققین گزارش شده است.

لکه پروتئینی شماره ۲۳۰۱ مربوط به ۳- ۳- ۱۴- ۱۴ Like protein است و در انتقال سیگنال دخیل می‌باشد. این پروتئین در واکنش‌های فیزیولوژیکی و تنظیمی متعدد Hajduch *et al.* (Hajduch *et al.*, 2005) و نقش تنظیمی مهمی در فعالیت H-ATPase (Shanko *et al.*, 2003) به طوری غشاء پلاسمایی دارد (Nouri and Komatsu, 2010). به طوری که این آنزیم در ایجاد شبکه غلاظت پروتئین در سرتاسر غشاء نقش دارد و به این وسیله انرژی مورد نیاز برای انتقال ثانویه، تنظیم توررزانس سلولی و pH درون سلولی را تأمین کند (Santos *et al.*, 2016) در مطالعه نوری و کوماتسو (Nouri and Komatsu, 2010) پروتئین ۳- ۳- ۱۴ Like protein تحت تنش اسمزی ایجاد شده به وسیله پلی اتیلن گلیکول تا ۱۰ درصد کاهش بیان داشته است. در گیاهان تحت تنش سوری گزارش شده است protein در گیاهان از آنجایی که این پروتئین نقش تنظیمی مهمی دارد و وجود آن‌ها در مدت پر شدن دانه ضروری می‌باشد (Hajduch *et al.*, 2005).

از کاهش تبدیل مالات به اگزالواستات و بالعکس است. بنابراین، مقادیر ۲- اگسوگلوتارات در گیاه مبتلا به ناهنجاری غلافبندی سویا کاهش خواهد یافت. مقادیر پایین ۲- اگسوگلوتارات و مالات میزان جریان چرخه کربس را محدود خواهد کرد و در نتیجه، به دلیل عدم دسترسی کافی به اگزالواستات، جریان چرخه کربن کاهش می‌یابد و این موضوع نشان دهنده عملکرد غیر طبیعی این چرخه در رقم سویا کتول است بطوری که در این واکنش NADH تولید می‌گردد و برای احیای نیترات مورد استفاده قرار می‌گیرد (Scheibe, 2004). کاهش بیان مالات دهیدروژناز حاکی از کاهش تبدیل مالات به اگزالواستات و بالعکس است. بنابراین، مقادیر ۲- اکسوگلوتارات در گیاه مبتلا به ناهنجاری غلافبندی سویا کاهش خواهد یافت. مقادیر پایین ۲- اکسوگلوتارات و مالات میزان جریان چرخه کربس را محدود می‌کند و در نتیجه، به دلیل عدم دسترسی کافی به اگزالواستات، جریان چرخه کربن کاهش می‌یابد و این موضوع نشان دهنده عملکرد غیر طبیعی این چرخه در رقم کتول سویا است. بین و همکاران (Yin *et al.*, 2009) تاثیر دامنه‌های حرارتی مختلف (۴، ۱۰ و ۲۲ درجه سانتی‌گراد) را بر رشد سویا را با رهیافت پروتومیک مورد بررسی قرار دادند و گزارش کردند که تحت تاثیر تیمار سرمایی پروتئین‌های درگیر در متابولیت‌های میتوکندریایی از جمله مالات دهیدروژناز کاهش بیان داشتند.

پروتئین‌های دخیل در تقسیط و ذخیره سازی پروتئینی لکه‌های شماره ۹۳۰۱ و ۶۴۰۲ می‌باشند که مربوط به گلیکوپروتئین ۳۱ کیلو دالتونی ساقه‌ای می‌باشد. پروتئین‌های ذخیره‌ای رویشی یا گلیکوپروتئین‌ها که گلیکوپروتئین ۳۱ کیلو دالتونی ساقه‌ای یکی از این پروتئین‌ها است، اولین بار به عنوان پروتئین‌های ذخیره‌ای برگی در گیاهان سویای غلافزدایی شده مشاهده شد و Mason *et al.* (Mason *et al.*, 1988) دارای دو زیر واحد آلفا و بتا می‌باشد. مکان تجمع این پروتئین‌ها واکوئل سلول‌های غلاف آوندی بوده و تجمع آن‌ها در پاسخ به حذف اندام‌های زایشی ناشی از بلوکه شدن انتقال آن‌ها از طریق آوندهای

مهم برای از بین بردن ROS می‌باشد و در گیاهان سویاً تحت تنفس اسمزی، افزایش بیان این پروتئین با تحمل بالای سویاً به تنفس همراه بود (Toorchi *et al.* 2009). که شماره ۸۳۰۲ متعلق به یک پروتئین ناشناخته بود Methylecgonone reductase که تحت عنوان پروتئین شناسایی شد که تحت شرایط ابتلا به عارضه ناهنجاری غلاف‌بندی سویا در مطالعات فبلی کاهش بیان داشته است (Payghamzadeh *et al.*, 2017).

بطور خلاصه تجزیه و تحلیل پروتئوم روی بافت ریشه سویاً رقم کنول منجر به شناسایی ۱۲۴ لکه پروتئینی تکرارپذیر با تکنولوژی الکتروفوروز دو بعدی و رنگ آمیزی با آبی کوماسی شد. از بین لکه‌های پروتئینی مشاهده شده روی ژلهای پلی آکریل آمید تعداد ۱۱ پروتئین به طور معنی‌داری از نظر آماری تغییر بیان داشتند. این پروتئین‌ها بر اساس عملکرد بیولوژیک، در پنج گروه پروتئین‌های مرتبط با تولید انرژی، پروتئین‌های مرتبط با تقسیط و ذخیره‌سازی، پروتئین‌های مرتبط با انتقال سیگنال، پروتئین‌های مرتبط با مهار ROS و پروتئین ناشناخته طبقه‌بندی شدند. تمامی این پروتئین‌ها در سویاً مبتلا به ناهنجاری غلاف‌بندی کاهش بیان را نشان دادند. به نظر می‌رسد که کاهش بیان پروتئین‌های 14-3-3-like protein و پروتئین شبیه جرمین که از تنظیم‌کننده‌های کلیدی به شمار می‌روند در ریشه گیاهان مبتلا نقش اساسی را در ظاهر سندروم غلاف‌بندی سویا دارند.

تعارض منافع

هیچ‌گونه تعارض منافع توسط نویسنده‌گان وجود ندارد.

مرکز تحقیقات کشاورزی و منابع طبیعی گرگان و گنبد، ص ۵۳

Afroz, A., Hashiguchi, A., Khan, M.R., & Komatsu, S. (2010) Analyses of the proteomes of the leaf, hypocotyl, and root of young soybean seedlings. *Protein & Peptide Letters* 17(3): 319-31. doi: 10.2174/092986610790780341.

کاهش بیان این پروتئین به طرز ناشناخته‌ای منجر به عدم توسعه دانه در گیاهان مبتلا به ناهنجاری غلاف‌بندی سویاً گردد. به طور کلی در این مطالعه، تغییر بیان ۳- ۱۴ Like protein فعالیت ATPase غشاء پلاسمایی، محرک‌های سیگنال‌دهی، رشد سلول و غیره را تحت تاثیر قرار دهد و از این طریق منجر به ایجاد عارضه ناهنجاری غلاف‌بندی سویا گردد.

لکه‌های پروتئینی شماره ۳۱۰۱، ۳۲۰۲ و ۱۲۰۱ مربوط به پروتئین مشابه جرمین می‌باشند که جزو پروتئین‌های مهارکننده ROS و سم زدایی طبقه‌بندی می‌شوند. این پروتئین در طی جوانه‌زنی دانه در گیاه‌چههای جوان گندم و همچنین در برگ‌های بالغ در واکنش به حمله پاتوژن بیان می‌شوند. پروتئین‌های شبیه جرمین به عنوان پروتئین‌های مرتبط با دیواره سلولی توصیف شده‌اند. برخی از اعضای خانواده شبیه جرمین فعالیت شبیه اکسالات اکسیداز و سوپراکسید دیسموتاز نشان می‌دهند فعالیت سوپراکسید دیسموتازی حاکی از نقش این پروتئین‌ها در استحکام دیواره سلولی و مقاومت در برابر حمله پاتوژن‌ها و تنفس‌های غیر زیستی است (Lane, 1994). لکه شماره ۵۱۰۱ احتمالاً مربوط به پروتئین Thioredoxin می‌باشد. Thioredoxin آنزیم آنتی اکسیدان می‌باشد که در بهبود فرآیندهای سلولی نقش دارد و در گیاهان حائز اهمیت می‌باشد. در فرآیندهای متعدد از جمله متابولیسم چربی، حمل و نقل غشاء، متابولیسم هورمون‌ها و سنتز ATP نقش دارد (Collet and Messens, 2010).

منابع

- احمدی، م. (۱۳۷۸). کیفیت و کاربرد دانه‌های روغنی، ناگاراج اس. (مؤلف). چاپ اول. انتشارات نشر آموزش کشاورزی، ۱۱۳ ص.
- چراغعلی، ع. (۱۳۶۷). نتایج بررسی‌های طرح علل پیدایش اختلال در غلاف‌بندی سویا- منطقه گرگان و گبد،

- Aghaei, K., Ehsanpour, A.A., Shah, A.H., & Komatsu, S. (2009). Proteome analysis of soybean hypocotyl and root under salt stress. *Amino Acids*, 36(1), 91-8. doi: 10.1007/s00726-008-00367.
- Alam, I., Sharmin, S.A., Kim, K.H. et al. (2010). Proteome analysis of soybean roots subjected to short-term drought stress. *Plant and Soil*, 333, 491-505. <https://doi.org/10.1007/s11104-010-0365-7>.
- Alexandratos, N., & Bruinsma, J. (2012). World agriculture towards 2030/2050, the 2012 revision. ESA Working paper No. 12-03. Rome, FAO.
- Bradford, M. M. (1976). A rapid and sensitive method for the quantitation of microgram quantities of protein utilizing the principle of protein-dye binding. *Analytical Biochemistry* 72, 248-54. doi: 10.1006/abio.1976.9999.
- Collet, J.F., & Messens, J. (2010). Structure, function, and mechanism of thioredoxin proteins. *Antioxid Redox Signaling*, 13(8), 1205-16. doi:10.1089/ars.2010.3114.
- Dubois, F., Tercé-Laforgue, T., Gonzalez-Moro, M-B., Estavillo, J-M., Sangwan, R., André Gallais, A., Bertrand Hirel, B., et al. (2003). Glutamate dehydrogenase in plants, is there a new story for an old enzyme? *Plant Physiology and Biochemistry*, 41(6), 565-576.
- Fontaine, J.X., Tercé-Laforgue, T., Armengaud, P., Clément, G., Renou, J.P., Pelletier, S., Catterou, M., Azzopardi, M., Gibon, Y., Lea, P.J., Hirel, B., & Dubois, F. (2012). Characterization of a NADH-dependent glutamate dehydrogenase mutant of *Arabidopsis* demonstrates the key role of this enzyme in root carbon and nitrogen metabolism. *Plant Cell*, 24(10), 4044-65.
- Forde, B.G., & Lea, P.J. (2007). Glutamate in plants, metabolism, regulation, and signalling. *Journal of Experimental Botany*, 58(9), 2339-58. doi: 10.1093/jxb/erm121. Epub 2007 Jun 19.
- Ghayeb Zamharir, M., Shameli, S., & Bertaccini, A. (2022b). Molecular evidence of seed transmission of soybean bud proliferation and seed pods abortion phytoplasma disease. *Indian Phytopathology*, 75, 889-893. doi: 10.1007/s42360-022-00518-4.
- Giesler, L.J., Ghabrial, S.A., Hunt, T.E., & Hill, J.H. (2002). Bean pod mottle virus, A Threat to U.S. Soybean Production. *Plant Disease*, 86(12), 1280-1289. doi: 10.1094/PDIS.2002.86.12.1280.
- Gucciardo, S., Wisniewski, J., Brewin, N., & Bornemann, S. (2007). A germin-like protein with superoxide dismutase activity in pea nodules with high protein sequence identity to a putative rhicadhesin receptor. *Journal of Experimental Botany*, 58, 1161-1171. doi: 10.1093/jxb/erl282.
- Hajduch, M., Ganapathy, A., Stein, J.W., & Thelen, J.J. (2005). A systematic proteomic study of seed filling in soybean. Establishment of high-resolution two-dimensional reference maps, expression profiles, and an interactive proteome database. *Plant Physiology*, 137(4), 1397-419. doi: 10.1104/pp.104.056614.
- Hajheidari, M., Eivazi, A., Buchanan, B. B., Wong, J. H., Majidi, I., & Salekdeh, G. H. (2007). Proteomics uncovers a role for redox in drought tolerance in wheat. *Journal of Proteome Research*. 6(4), 1451-60. doi: 10.1021/pr060570j.
- Hill, C.B., Bowen, C.R., & Hartman, G.L. (2013). Effect of fungicide application and cultivar on soybean green stem disorder. *Plant Disease*, 97(9), 1212-1220. doi.org/10.1094/PDIS-12-12-1191-RE.
- Holshouser, D. (2009). Green stem syndrome in soybean. Agricultural and Food Sciences. Available at, <https://pubs.ext.vt.edu/2912/2912-1430/2912-1430.html>
- Huang B., Chu C. H., Chen S. H., Juan H. F., & Chen Y. M. (2006). A proteomics study of the mung bean glycerald regulated by brassinosteroids under conditions of chilling stress. *Cellular and Molecular Biology Letters*, 11(2), 264-78. doi: 10.2478/s11658-006-0021-7.
- Jadhav, P. V., Mane, S.S., Nandanwar, R.S., Kale, P.B., Dudhare, M.S., Moharil, M.P., & Dani, R.G. (2013). Floral bud distortion in soybean and incidence in central India. *Egyptian Journal of Biology*, 15, 59-65. doi.org/10.4314/ejb.v15i1.9
- Keep, N.R., Schapaugh, W.T., Prasad, P.V.V., & Boyer, J.E. (2016). Changes in physiological traits in soybean with breeding advancements. *Crop Science*, 56, 122-131. doi.org/10.2135/cropsci2013.07.0499.
- Komatsu, S., Han, C., Nanjo, Y., Altaf-Un-Nahar, M., Wang, K., He, D., & Yang, P. (2013). Label-free quantitative proteomic analysis of abscisic acid effect in early-stage soybean under flooding. *Journal of Proteome Research*, 12(11), 4769-84. doi: 10.1021/pr4001898.
- Komatsu, S., Kobayashi, Y., Nishizawa, K., Nanjo, Y., & Furukawa, K. (2010). Comparative proteomics analysis of differentially expressed proteins in soybean cell wall during flooding stress. *Amino Acids*, 39(5), 1435-49. doi: 10.1007/s00726-010-0608-1
- Komatsu, S., Toorchi, M. and Yukava, K. 2007. Soybean proteomics. *Current Proteomics* 4, 182-186.

- Lane, B.G. (1994). Oxalate, germin, and the extracellular matrix of higher plants. *FASEB Journal*, 8(3), 294-301. doi: 10.1096/fasebj.8.3.8143935.
- Leonard, B. R., Boquet, D., Padgett, B., Davis, J. A., Schneider, R., Griffin, J. L., Valverde, A., & Levy, R. J. J. (2011). Soybean green plant malady contributing factors and mitigation. *Louisiana Agriculture*, 54,32-24.
- Liu, J. Wu, Y., Yang, J., Liu, Y., & Shen, Fa. (2008). Protein degradation and nitrogen remobilization during leaf senescence. *Journal of Plant Biology*, 51, 11-19. doi: 10.1007/BF03030735.
- Martínez-Zaguilán, R., & Sennoune, S. R., (2016). Vacuolar H⁺-ATPase Signaling in Cancer. In Regulation of Ca²⁺-ATPases, V-ATPases and F-ATPase. Springer, pp.371-392.
- Mason, H.S., Guerrero, F.D., Boyer, J.S., & Mullet, J.E. (1988). Proteins homologous to leaf glycoproteins are abundant in stems of dark-grown soybean seedlings. Analysis of proteins and cDNAs. *Plant Molecular Biology*, 11(6),845-56. doi: 10.1007/BF00019524.
- Maurício, C.M., Favoreto, L., Klepker, D., Francismar, C., & Marcelino, G. (2017). Soybean green stem and foliar retention syndrome caused by *Aphelenchoides besseyi*. *Tropical plant pathology*, 42, 403-409. doi:10.1007/s40858-017-0167-z.
- Messina, M. (2010). Insights gained from 20 years of soy research. *Journal of Nutrition*, 40(12), 2289S-2295S. doi: 10.3945/jn.110.124107.
- Mohammadi, P.P., Moieni, A., Hiraga, S., & Komatsu, S. (2012). Organ-specific proteomic analysis of drought-stressed soybean seedlings. *Journal of Proteomics*, 75(6), 1906-23. doi: 10.1016/j.jprot.2011.12.041.
- Morrison, J., & Bartlet, R.V. (2009). Green stem still a mystery. Education week. Edweek/go/commentary.
- Nouri, M.-Z., & Komatsu, S. (2010). Comparative analysis of soybean plasma membrane proteins under osmotic stress using gel-based and LC MS/MS-based proteomics approaches. *Proteomics* 10(10), 1930-1945. doi: 10.1002/pmic.200900632.
- Payghamzadeh, K., Toorchi, M. and Shobbar, Z.S. (2017). Proteome alteration of soybean as a function of pod distortion syndrome. *Legume Research* 40, 1-10. doi: 10.18805/lr.v0i0.7836.
- Radwan, O., Wu, X., Govindarajulu, M., Libault, M., Neece, D.J., Oh, M.H., Berg, R.H., Stacey, G., Taylor, C.G., Huber, S.C., & Clough, S.J. (2012). 14-3-3 proteins SGF14c and SGF14l play critical roles during soybean nodulation. *Plant Physiology*, 160(4), 2125-36. doi: 10.1104/pp.112.207027.
- Richard, M., Shibles, J.E., Harper, R.F., & Wilson, R.C. (2004). Soybeans, Improvement, Production, and Uses. Crop Science Society of America, Inc. Agronomy Monographs. doi:10.2134/agronmonogr16.3ed.
- Robinson, S. A., Stewart, G. R., & Phillips, R. (1992). Regulation of glutamate dehydrogenase activity in relation to carbon limitation and protein catabolism in carrot cell suspension cultures. *Plant Physiology*, 98(3), 1190-1195. doi.org/10.1104/pp.98.3.1190.
- Salavati, A., Khatoona, A., Nanjoa, Y., & Komatsua, S. (2012). Analysis of proteomic changes in roots of soybean seedlings during recovery after flooding. *Journal of Proteomics*, 75, 878-893.
- Santos, J.M., Martínez-Zaguilán, R., Facanha, A.R., Hussain, F., & Sennoune, S.R. (2016). Vacuolar H⁺-ATPase in the nuclear membranes regulates nucleo-cytosolic proton gradients. *American Journal of Physiology-Cell Physiology*, 311,C547-C558. doi:10.1152/ajpcell.00019.
- Scheibe, R. (2004). Malate valves to balance cellular energy supply. *Physiologia Plantarum*, 120(1), 21-26. doi: 10.1111/j.0031-9317.2004.0222.x.
- Seki, M., Kamei, A., Yamaguchi-Shinozaki, K., & Shinozaki, K. (2003). Molecular responses to drought, salinity and frost, common and different paths for plant protection. *Current Opinion in Biotechnology*, 14(2), 194-9. doi: 10.1016/s0958-1669(03)00030-2.
- Shanko, A.V., Mesenko, M.M., Klychnikov, O.I., Nosov, A.V., & Ivanov, V.B. (2003). Proton pumping in growing part of maize root, its correlation with 14-3-3 protein content and changes in response to osmotic stress. *Biochemistry* 68(12), 1320-6. doi: 10.1023/b.biry.0000011653.46422.c3.
- Sözen, E. (2004). Vegetative Storage Proteins in Plants. *Anadolu University Journal of Science and Technology*, 5(1), 1-7.
- Toorchi, M., Yukawa, K., Nouri, M-Z., & Komatsu, S. (2009). Proteomics approach for identifying osmotic-stress-related proteins in soybean roots. *Peptides*, 30(12),2108-17. doi: 10.1016/j.peptides.2009.09.006.
- Wang, L., Ma, H., Song, L., Shu, Y., Gu, W. (2012). Comparative proteomics analysis reveals the mechanism of pre-harvest seed deterioration of soybean under high temperature and humidity stress. *Journal of Proteomics*, 75(7), 2109-27. doi: 10.1016/j.jprot.2012.01.007.

- Xing, T., Ouellet, T., & Miki, B.L. (2002). Towards genomic and proteomic studies of protein phosphorylation in plant-pathogen interactions. *Trends in Plant Science*, 7(5), 224-30. doi: 10.1016/s1360-1385(02)02255-0.
- Xu, Z.Z., & Zhou, G.S. (2006). Combined effects of water stress and high temperature on photosynthesis, nitrogen metabolism and lipid peroxidation of a perennial grass *Leymus chinensis*. *Planta*, 224(5), 1080-90. doi: 10.1007/s00425-006-0281-5.
- Yin, G., Sun, H., Xin, X., Qin, G., Liang, Z., & Jing, X. (2009). Mitochondrial damage in the soybean seed axis during imbibition at chilling temperatures. *Plant Cell Physiology*, 50(7), 1305-18. doi: 10.1093/pcp/pcp074.
- Yin, Y., Yang, R., & Gu, Z. (2014). Organ-specific proteomic analysis of NaCl-stressed germinating soybeans. *J Agric Food Chem*. Jul 23; 62(29), 7233-44. doi: 10.1021/jf500851r.
- Zanzarin, D.M., Hernandes, C.P., Leme, L.M., Silva, E., Porto, C., Martin do Prado, R., Meyer, M.C., Favoreto, L., Nunes, E.de, O., & Pilau, E.J. (2020). Metabolomics of soybean green stem and foliar retention (GSFR) disease using mass spectrometry and molecular networking. *Rapid Communications in Mass Spectrometry*, 34(S3), 1-8.
- Zhang, Y., Zhao, J., Xiang, Y. et al. (2011). Proteomics study of changes in soybean lines resistant and sensitive to *Phytophthora sojae*. *Proteome Science* 9, 52. doi.org/10.1186/1477-5956-9-52.
- Zörb, C., Schmitt, S., & Mühling, K. H. (2010). Proteomic changes in maize roots after short-term adjustment to saline growth conditions. *Proteomics*, 10(24), 4441-4449. doi: 10.1002/pmic.201000231.